

Introduction
A quantitative gamma-ray spectrometric and aeromagnetic airborne geophysical survey of the Northwestern Athabasca Basin, Saskatchewan, was completed by Goldak Airborne Surveys. The survey was flown from June 24th to September 21st, 2010 using two Piper PA-31 Navajo aircraft (C-GJBA, C-GJBB) and one Cessna Caravan (C-GLDL). The nominal trackline and control line spacing were, respectively, 400 m and 200 m. The survey was flown at a nominal terrain clearance of 125 m and 200 m. Trackline lines were oriented 135° with north-south control lines. The flight path was recovered following post-flight differential corrections to raw data recorded by a Global Positioning System.

Gamma-ray Spectrometric Data
The airborne gamma-ray measurements were made with a Radiation Solutions RS-500 gamma-ray spectrometer using Thorium 102x102x406 mm NaI (Tl) crystals. The main detector array consisted of twelve crystals (total volume 50.4 litres). Two crystals (total volume 8.4 litres) attached to the main array were used to detect variations in background radiation caused by atmospheric radon. The system continuously monitored the natural thorium peak for each crystal, and using a Gaussian least squares algorithm, adjusted the gain for each crystal.
Potassium is measured directly from the 1460 keV gamma-ray photons emitted by ⁴⁰K, whereas uranium and thorium are measured indirectly from gamma-ray photons emitted by daughter products (BP* for uranium and Tl* for thorium). Although these daughters are far down their respective decay chains, they are assumed to be in equilibrium with their parents, thus gamma-ray spectrometric measurements of uranium and thorium are referred to as equivalent uranium and equivalent thorium, i.e. eU and eTh. The energy windows used to measure potassium, uranium and thorium are, respectively, 1370–1570 keV, 1600–1800 keV and 2410–2610 keV.
Gamma-ray spectra were recorded at one-second intervals. Data processing followed standard procedures as described in IAEA, 1991 and IAEA, 2003. During processing, the spectra were energy calibrated, and counts were accumulated into the windows described above. Counts from the radon detectors were recorded in a 1600–1800 keV window and radon at energies greater than 2000 keV was recorded in the cosmic window. The window counts were corrected for dead time, background radiation, radioactivity of the aircraft and atmospheric radon decay products. The window data were then corrected for spectral scattering in the ground, air and detectors. Corrections for conditions from the planned terrain clearance and for variations in temperature and pressure were made prior to conversion to ground concentrations of potassium, uranium and thorium, using factors determined from flights over the Dartmouth, Saskatchewan collection range. The factors for potassium, uranium, and thorium are listed in Table 1.

| | C-GJBA | C-GJBB | C-GLDL |
|------------------|--------|--------|--------|
| Potassium (cpa%) | 83.27 | 82.06 | 90.73 |
| Uranium (cpsppm) | 12.88 | 12.88 | 10.20 |
| Thorium (cpsppm) | 5.81 | 6.45 | 6.57 |

Table 1. Gamma Ray Spectrometer Sensitivities for each aircraft
Corrected data were filtered and interpolated to a 100 m grid interval. The results of an airborne gamma-ray spectrometer survey represent the average surface concentrations that are influenced by varying amounts of outcrop, overstorey, vegetation cover, soil moisture and surface water. As a result the measured concentrations are usually lower than the actual bedrock concentrations. The total air absorbed dose rate in nanograys per hour was produced from measured counts between 400 and 2810 keV.

Magnetic Data
The magnetic field was sampled 10 times per second using a split-beam cesium vapour magnetometer (sensitivity = 0.005 nT) rigidly mounted to the aircraft. Differences in magnetic values at the intersections of control and flight lines were analysed and the levelled values were then interpolated to a 100 m grid. The International Geomagnetic Reference Field (IGRF) defined at the average GPS altitude of 810 m for the year 2010.01 was then removed. Removal of the IGRF, representing the magnetic field of the Earth's core, produces a residual component related to magnetization within the Earth's crust.
The first vertical derivative of the magnetic field is the rate of change of the magnetic field in the vertical direction. Computation of the first vertical derivative removes low wavelength features of the magnetic field and significantly improves the resolution of closely spaced and superposed anomalies. Appropriety of first vertical derivative maps is the coincidence the zero-value contour with vertical contacts of magnetic units at high magnetic latitudes (Hood, 1965).

LEVÉ GÉOPHYSIQUE DE LA PARTIE NORD-OUEST DU BASSIN ATHABASCA, SASKATCHEWAN

Introduction
Un levé géophysique aéroporté combinant l'acquisition de données de spectrométrie gamma et de données magnétique a été réalisé dans la partie nord-ouest du bassin de l'athabasca Saskatchewan par l'agence Goldak Airborne Surveys. Le levé a été effectué du 24 juin au 21 septembre 2010, à bord de deux avions Piper PA-31 Navajo (C-GJBA, C-GJBB) et d'un Cessna Caravan (C-GLDL). L'épaveur nominal des lignes de vol était de 400 m et celui des lignes de contrôle de 200 m. L'altitude nominale de levé était de 125 m au-dessus du sol et de 200 m au-dessus de 200 km et 200 m. Les lignes de vol étaient orientées à 135° et les lignes de contrôle les lignes de contrôle à l'ouest. La trajectoire de vol a été restituée par l'application après le vol de corrections différentielles aux données brutes enregistrées avec un récepteur GPS.

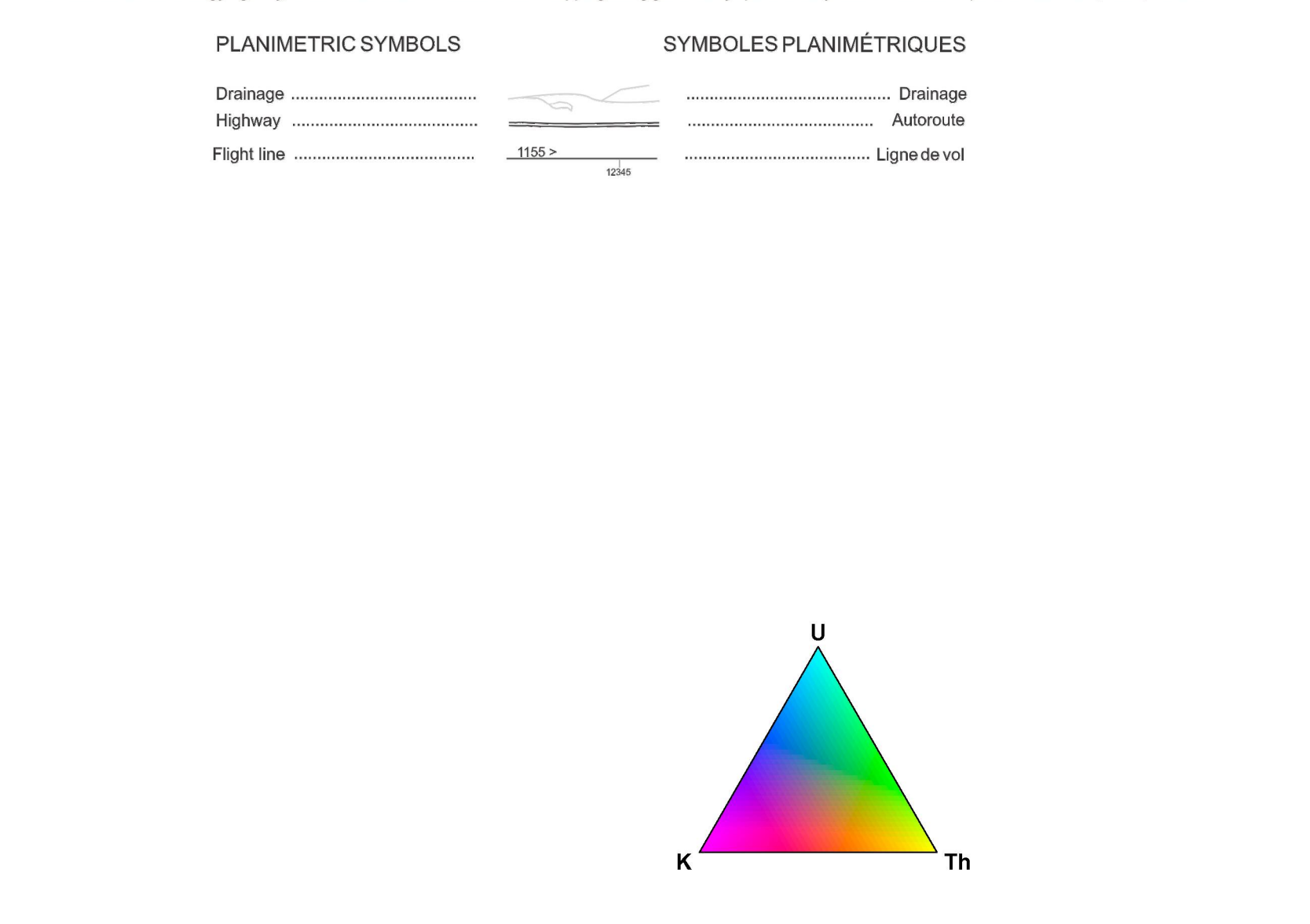
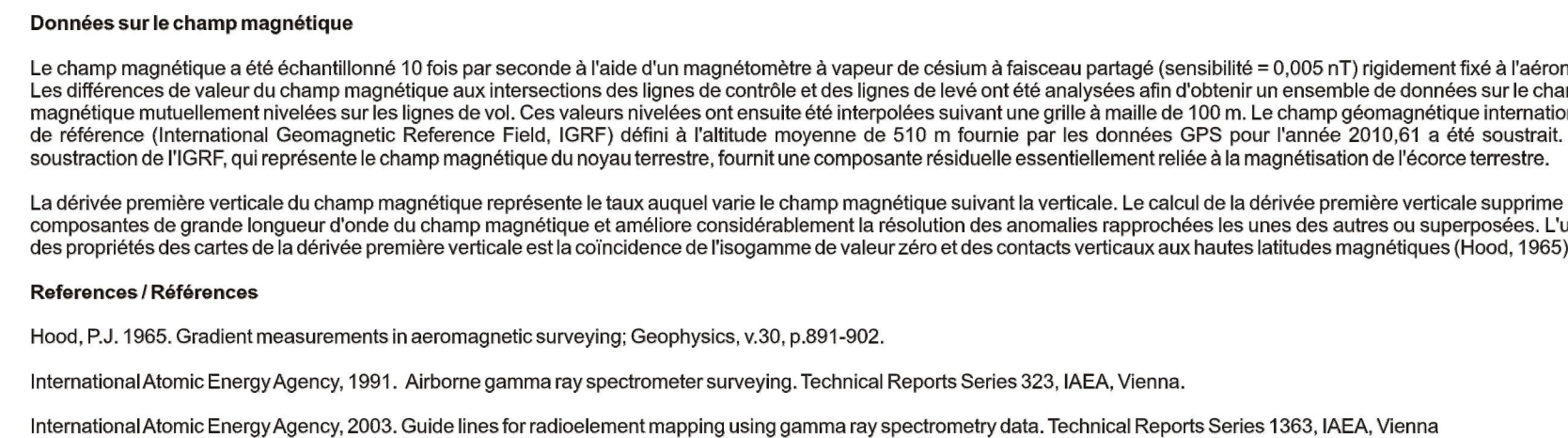
Données de spectrométrie gamma
Les mesures du rayonnement gamma ont été effectuées à l'aide d'un spectromètre gamma Radiation Solutions RS-500 utilisant quatre cristaux de NaI (Tl) de 102x102x406 mm. Le niveau de capteurs principal se composait de douze cristaux (volume total de 50,4 litres). Deux cristaux (volume total de 8,4 litres), protégés par des récipients en plomb, ont été utilisés pour détecter les variations du rayonnement naturel causées par le radon atmosphérique. Le dispositif permettait de faire un suivi continu des pics du thorium pour chacun des cristaux et, au moyen d'un algorithme d'ajustement gaussien, de compenser la perte de chaque cristaux.
Le potassium est mesuré directement à partir des photons gamma de 1460 keV émis par le ⁴⁰K, tandis que l'uranium et le thorium sont mesurés indirectement à partir des photons gamma émis par des produits de fission (BP* pour l'uranium et Tl* pour le thorium). Bien que ces radionucléides de fission se trouvent loin dans leur chaîne respective de désintégration, on presume qu'ils sont en équilibre avec les radionucléides père. Ainsi, les mesures spectrométriques du rayonnement gamma de l'uranium et du thorium sont désignées comme des équivalents d'uranium et des équivalents de thorium, soit eU et eTh. Les plages d'énergie utilisées pour mesurer le potassium, l'uranium et le thorium sont respectivement de 1370 à 1570 keV, de 1600 à 1800 keV et de 2410 à 2610 keV. Le débit total de la dose absorbée par l'air, en nanograys à l'heure, a été déterminé à partir des coups mesurés dans la plage de 400 à 2810 keV.

| | C-GJBA | C-GJBB | C-GLDL |
|------------------|--------|--------|--------|
| Potassium (cpa%) | 83.27 | 82.06 | 90.73 |
| Uranium (cpsppm) | 12.88 | 12.88 | 10.20 |
| Thorium (cpsppm) | 5.81 | 6.45 | 6.57 |

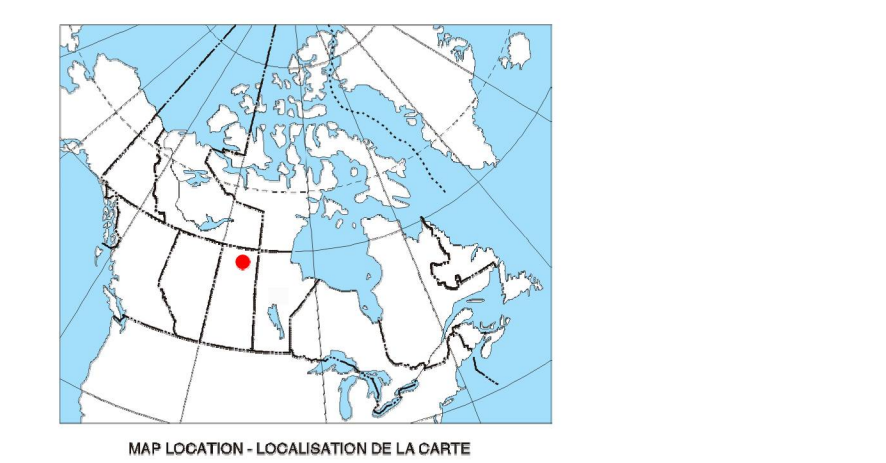
Tableau 1. Sensibilités des spectromètres de chacun des aéronefs.
Les résultats d'un levé aéroporté de spectrométrie gamma représentent les concentrations moyennes à la surface. Celles-ci sont influencées par les éléments variables des affleurements, de la couverture végétale et de l'eau de surface. Par conséquent, les concentrations mesurées sont habituellement plus faibles que les concentrations réelles dans le substratum rocheux.

Données sur le champ magnétique
Le champ magnétique a été échantillonné 10 fois par seconde à l'aide d'un magnétomètre à vapeur de césium à faisceau partagé (sensibilité = 0,005 nT) rigidement fixé à l'aéronef. Les différences de valeur du champ magnétique aux intersections des lignes de contrôle et des lignes de levé ont été analysées afin d'établir un ensemble de données du champ magnétique mutuellement nivelées sur les lignes de vol. Ces valeurs nivelées ont ensuite été interpolées à une grille à maille de 100 m. Le champ géomagnétique international de référence (International Geomagnetic Reference Field, IGRF) défini à l'altitude moyenne de 810 m durant les données GPS pour l'année 2010.01 a été soustrait. La soustraction de l'IGRF, qui représente le champ magnétique du noyau terrestre, fournit une composante résiduelle essentiellement liée à la magnétisation de l'écorce terrestre.
La dérivée première verticale du champ magnétique représente la taux auquel varie le champ magnétique suivant la verticale. Le calcul de la dérivée première verticale supprime les composantes de grande longueur d'onde du champ magnétique et améliore considérablement la résolution des anomalies superposées et des anomalies superposées. L'une des propriétés des cartes de la dérivée première verticale est la coïncidence de l'isozème de valeur zéro des contacts verticaux aux buttes latérales magnétiques (Hood, 1965).

References / Références
Hood, P.J., 1965. Gradient measurements in aeromagnetic surveying. *Geophysics*, v.30, p.891-902.
International Atomic Energy Agency, 1991. Airborne gamma ray spectrometer surveying. Technical Reports Series 323, IAEA, Vienna.
International Atomic Energy Agency, 2003. Guide lines for radiometric mapping using gamma ray spectrometry data. Technical Reports Series 1363, IAEA, Vienna.



This airborne geophysical survey and the production of this map were funded by the Saskatchewan Ministry of Energy and Resources and the GEM-Energy Program of the Earth Sciences Sector, Natural Resources Canada.
Ce levé géophysique aéroporté et la production de cette carte ont été financés par le ministère de l'Énergie et des Ressources et le programme GEM-Energie du Secteur des sciences de la Terre, Ressources naturelles Canada.

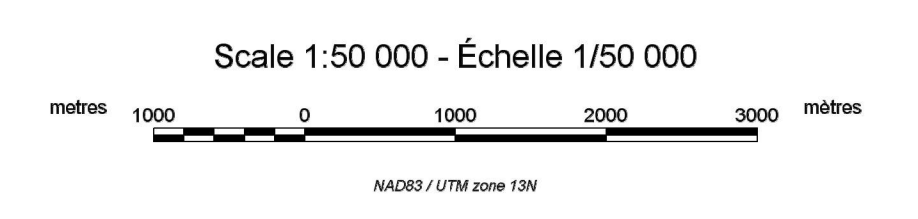


Authors: Fortin, R., Coyle, M., Buckle, J., Hefford, S.W. and Delaney, G.
Data acquisition, compilation and map production by Goldak Airborne Surveys, Saskatoon, Saskatchewan. Contract and project management by the Geological Survey of Canada, Ottawa, Ontario.
Saskatchewan Ministry of Energy and Resources

GSC OPEN FILE 6807 / DOSSIER PUBLIC 6807 DE LA CGC
SMER OPEN FILE 2011-42

GEOPHYSICAL SERIES / SÉRIE DES CARTES GÉOPHYSIQUES
AIRBORNE GEOPHYSICAL SURVEY OF THE NORTHWESTERN ATHABASCA BASIN, SASKATCHEWAN
LEVÉ GÉOPHYSIQUE AÉROPORTÉ DE LA PARTIE NORD-OUEST DU BASSIN ATHABASCA, SASKATCHEWAN
NTS 74 P/06 and 74 P/07 Lytle Lake and Higginson Lake / SNRC 74 P/06 et 74 P/07 Lytle Lake et Higginson Lake

TERNARY RADIOELEMENT MAP
DIAGRAMME TERNAIRE DES RADIOÉLÉMENTS



Authors: Fortin, R., Coyle, M., Buckle, J., Hefford, S.W. and Delaney, G.
Localisation, la compilation des données ainsi que la production des cartes furent effectuées par Goldak Airborne Surveys, Saskatoon, Saskatchewan. La gestion et la supervision du projet furent effectuées par la Commission géologique du Canada, Ottawa, Ontario.

Digital versions of this map, corresponding digital profile and gridded data, and similar data for adjacent aeromagnetic and gamma-ray spectrometric surveys can be downloaded, at no charge, from Natural Resources Canada's Geoscience Data Repository at <http://gdr.nrcan.gc.ca>. The same products are available, for a fee, from the Geophysical Data Centre, Geological Survey of Canada, 615 Booth Street, Ottawa, Ontario, K1A 0E8. Telephone: (613) 995-5326, email: info@hds.nrcan.gc.ca
On peut télécharger gratuitement, depuis l'Entrepôt de données géoscientifiques de Ressources naturelles Canada à l'adresse Web <http://gdr.nrcan.gc.ca>, des versions numériques de cette carte, des données numériques correspondantes en format profil et en format maillé, ainsi que des données similaires issues des levés aéromagnétiques et spectrométriques adjacents. On peut se procurer les mêmes produits, moyennant des frais, en s'adressant au Centre de données géophysiques de la Commission géologique du Canada, 615, rue Booth, Ottawa (Ontario) K1A 0E8. Téléphone: (613) 995-5326, courriel: info@hds.nrcan.gc.ca.

MAP SHEET SUMMARY / SOMMAIRE DES FEUILLETS
1. Natural Air Absorbed Dose Rate
2. Potassium
3. Uranium
4. Thorium
5. Uranium / Thorium
6. Uranium / Potassium
7. Thorium / Potassium
8. Terrain Rayonnement Map
9. Radiometric Total Magnetic Field
10. First Vertical Derivative of the Magnetic Field
Dérivée première verticale du champ magnétique total

MAP SHEET SUMMARY / SOMMAIRE DES FEUILLETS

| Sheet / Feuille | MAP / CARTE |
|-----------------|---|
| 1 | Natural Air Absorbed Dose Rate |
| 2 | Potassium |
| 3 | Uranium |
| 4 | Thorium |
| 5 | Uranium / Thorium |
| 6 | Uranium / Potassium |
| 7 | Thorium / Potassium |
| 8 | Terrain Rayonnement Map |
| 9 | Radiometric Total Magnetic Field |
| 10 | First Vertical Derivative of the Magnetic Field |

OPEN FILE
DOSSIER PUBLIC
6807

OPEN FILE
DOSSIER PUBLIC
6807

Recommended citation:
Fortin, R., Coyle, M., Buckle, J., Hefford, S.W. and Delaney, G., 2011. Geophysical Series. Airborne Geophysical Survey of the Northwestern Athabasca Basin, Saskatchewan, NTS 74 P/06 and 74 P/07, Lytle Lake and Higginson Lake. Geological Survey of Canada, Open File 6807. Saskatchewan Ministry of Energy and Resources (SMER), Open File 2011-42. Scale: 1:50 000.
Notation bibliographique conseillée:
Fortin, R., Coyle, M., Buckle, J., Hefford, S.W. et Delaney, G., 2011. Série des cartes géophysiques. Levé géophysique aéroporté de la partie nord-ouest du bassin Athabasca, Saskatchewan, SNRC 74 P/06 et 74 P/07, Lytle Lake et Higginson Lake. Commission géologique du Canada, Dossier public 6807. Ministère de l'Énergie et des Ressources de la Saskatchewan (SMER), Open File 2011-42, échelle 1:50 000.